

УДК 621.9.079.014.4.079

Д.В. АРИНИН

## ИССЛЕДОВАНИЕ РЕЖУЩЕЙ СПОСОБНОСТИ ШЛИФОВАЛЬНЫХ КРУГОВ ПРИ КРУГЛОМ НАРУЖНОМ ВРЕЗНОМ ШЛИФОВАНИИ С ИСПОЛЬЗОВАНИЕМ ИНФОРМАЦИИ ПО НИЗКОЧАСТОТНОМУ АКУСТИЧЕСКОМУ СИГНАЛУ

Приведены результаты экспериментальных исследований взаимосвязи параметров низкочастотного акустического сигнала, возникающего в процессе шлифования, с технологическими и выходными параметрами процесса. Разработана методика управления циклом круглого наружного врезного шлифования по акустическому сигналу.

Для обеспечения надежности выполнения шлифовальных операций в автоматическом режиме необходимо проектировать рабочие циклы, учитывающие все многообразие изменений условий и факторов процесса шлифования, влияющих на режущую способность шлифовальных кругов. Многочисленные исследования износа и затупления шлифовальных кругов пока не привели к установлению единого критерия оценки их режущей способности. В связи с этим автором предпринято экспериментальное исследование с целью выявления зависимостей между режимами шлифования, величиной звукового давления и показателями процесса шлифования, необходимых для последующей разработки критерия оценки работоспособности круга и методики управления циклом круглого наружного врезного шлифования с использованием информации по низкочастотному акустическому сигналу.

Эксперименты проводили на круглошлифовальном станке ЗМ152МВФ2 при предварительном шлифовании заготовок (образцов) из стали Р6М5 кругом 1 600×40×305 95А25ПСМ27К5 с окружной скоростью круга  $V_k = 50$  м/с. Частотой вращения заготовки  $n_i$  варьировали от 150 до 300 мин<sup>-1</sup>, а врезной подачей  $S_t$  – от 0,2 до 1 мм/мин. Величина припуска  $z$  изменялась в диапазоне (0,2 – 0,5) мм. В качестве основных характеристик акустического сигнала использовали частоту  $f$  акустических колебаний, звуковое давление  $p_z$  и амплитуду звукового давления  $A_3$ , определяемую амплитудным значением эффективного напряжения. Прием и обработку акустических сигналов осуществляли по методике, изложенной в работе [1].

В ходе экспериментальных исследований контролировали радиальную  $P_y$  и касательную  $P_z$  составляющие силы шлифования  $P$ , приведенную режущую способность шлифовального круга по звуковому давлению  $K_p$ , приведенную режущую способность шлифовального круга по объему снятого материала  $K_{Qp}$ , размерный износ круга  $\Delta R$ , среднее арифметическое отклонение профиля  $R_a$  шлифованной поверхности, наличие прижогов и следов дробления. На первом этапе экспериментальных исследований был выявлен диапазон информативных частот (900 – 1000) Гц. Дальнейшие исследования на информативной частоте 950 Гц проводили однофакторным и многофакторным планами.

Для реализации задачи управления процессом шлифования исследовали закономерности изменения величин  $p_z$ ,  $A_3$ ,  $P$ ,  $K_p$ ,  $\Delta R$  и  $R_a$  в зависимости от режимов шлифования. Установлено (рис. 1), что изменение технологических параметров процесса шлифования – врезной подачи  $S_t$ , снимаемого припуска  $z$  и частоты вращения заготовки  $n_i$  приводит к изменению амплитуды звукового давления и выходных показателей процесса шлифования.

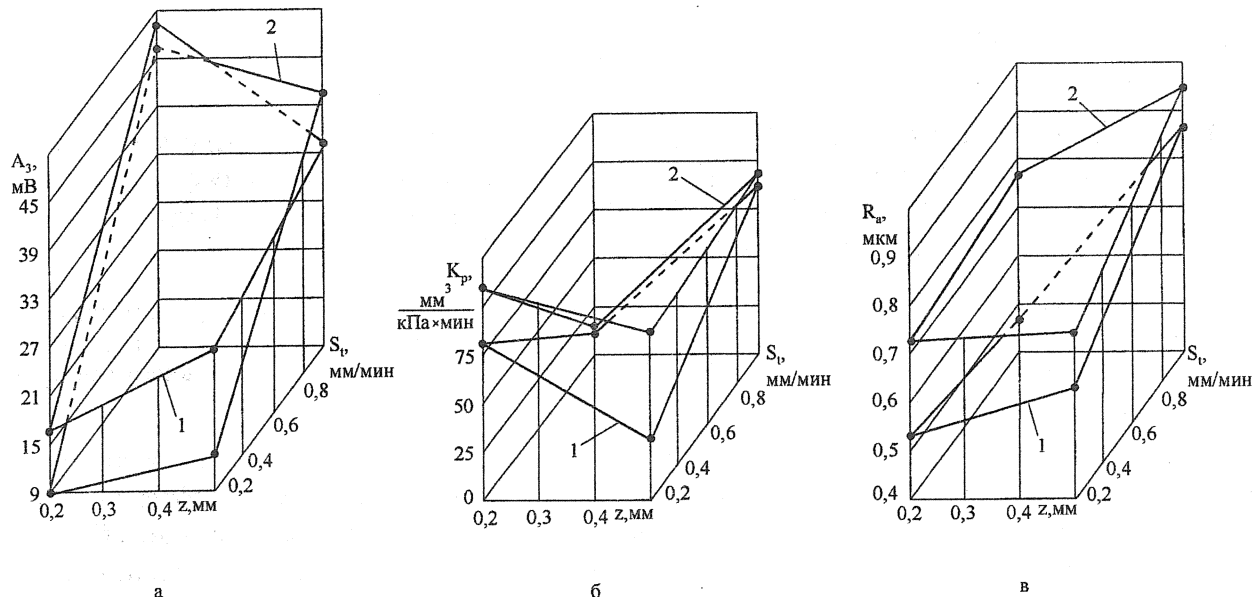


Рис. 1. Зависимость амплитуды звукового давления  $A_3$ , силы резания  $P$ , шероховатости шлифованной поверхности заготовки ( $R_a$ ) от скорости врезной подачи  $S_t$  и величины снимаемого припуска  $z$ : 1, 2 – соответственно  $n_d = 300; 150$  об/мин

При увеличении припуска  $z$  от 0,2 до 0,5 мм (см. рис. 1) при шлифовании с поперечной подачей  $S_t=0,2$  мм/мин и частотой вращения заготовки  $n_d=300$  мин<sup>-1</sup> амплитуда  $A_3$  звукового давления увеличивается на 46 %, шероховатость  $R_a$  шлифованной поверхности заготовки на 4 %, а коэффициент  $K_p$  режущей способности круга уменьшается на 60 %. При частоте вращения заготовки  $n_d=150$  мин<sup>-1</sup> увеличение припуска  $z$  в тех же пределах влечет за собой повышение  $A_3$  на 9 %,  $R_a$  на 1 % и снижение  $K_p$  на 34 %. При работе с подачей  $S_t=1,0$  мм/мин увеличение припуска  $z$  от 0,2 до 0,5 мм вызывает снижение амплитуды  $A_3$  звукового давления на 30 и 17 % (для  $n_d=300$  мин<sup>-1</sup> и  $n_d=150$  мин<sup>-1</sup> соответственно) и увеличение шероховатости  $R_a$  шлифованной поверхности заготовки на 55 и 15 %, а приведенной режущей способности круга  $K_p$  на 85 % (в обоих случаях). Различный характер изменения данных параметров при увеличении снимаемого припуска объясняется тем, что круг при подаче  $S_t=0,2$  мм/мин работает в режиме затупления, а при  $S_t=1,0$  мм/мин – в режиме самозатачивания.

В ходе экспериментальных исследований была также выявлена связь амплитуды  $A_3$  звукового давления с шероховатостью шлифованной поверхности заготовки  $R_a$ , приведенной режущей способностью круга по объему снятого материала  $K_{Qp}$ , износом круга  $\Delta R$  и интенсивностью съема материала заготовки  $W$  (рис. 2). При увеличении шероховатости шлифованной поверхности заготовки  $R_a$  и режущей способности круга  $K_{Qp}$  амплитуда  $A_3$  изменяется по гиперболическому закону. Увеличение шероховатости  $R_a$  на 21 % вызывает снижение амплитуды  $A_3$  звукового давления в среднем на 26 %. Различие в величине шероховатости для различных частот вращения заготовки (рис. 2, а) объясняется значительным влиянием величины  $n_d$  на качество шлифованной поверхности заготовки. Однако, потеря режущей способности шлифовального круга в обоих случаях наступает при одинаковом уровне амплитуды звукового давления. При увеличении коэффициента режущей способности  $K_{Qp}$  на 57 % амплитуда уменьшается на 26 %. Увеличение износа круга  $\Delta R$  на 46 % увеличивает величину  $A_3$  на (3 – 7) % (для  $n_d=300$  об/мин и  $n_d=150$  об/мин соответст-

венно), а увеличение скорости съема припуска  $W$  на 33 % вызывает снижение амплитуды  $A_3$  в среднем на 25 %.

Таким образом, эксперименты показали, что амплитуда звукового давления  $A_3$  имеет корреляционную связь со скоростью съема припуска  $W$ , высотными параметрами шероховатости  $R_a$  шлифуемой поверхности заготовки, коэффициентом режущей способности  $K_{Qp}$  и износом  $\Delta R$  шлифовального круга, что позволяет использовать звуковое давление в качестве надежного информационного параметра, характеризующего протекание процесса шлифования.

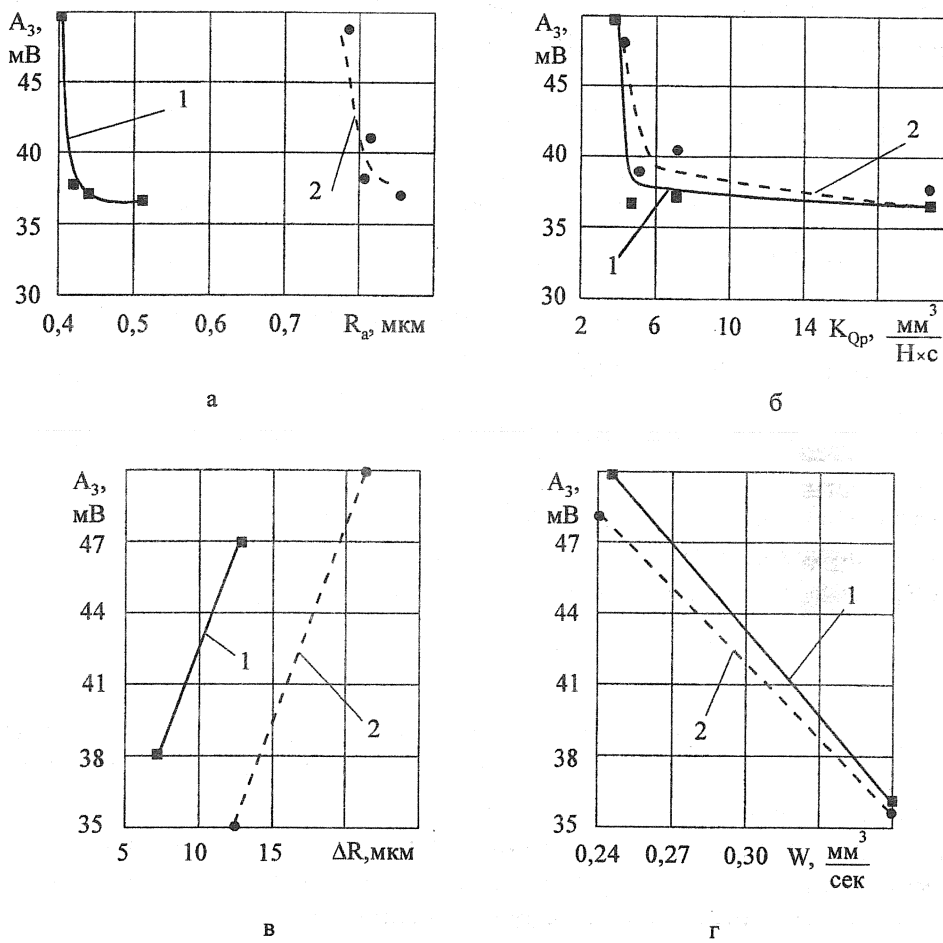


Рис. 2. Зависимость амплитуды  $A_3$  звукового давления от шероховатости шлифованной поверхности заготовки  $R_a$  (а), коэффициента режущей способности круга  $K_{Qp}$  (б), износа круга  $\Delta R$  (в) и интенсивности съема материала заготовки  $W$  (г):  $S_t=1,0 \text{ мм/мин}; z=0,5 \text{ мм}; 1 - n_d=300 \text{ об/мин}; 2 - n_d=150 \text{ об/мин}$

Для реализации схемы управления процессом круглого наружного врезного шлифования на основе использования низкочастотного акустического сигнала удобнее использовать легко контролируемый в процессе шлифования критерий режущей способности круга  $K_p = W/p_3$ , связывающий производительность шлифования  $W$  со звуковым давлением  $p_3$ . Величина  $W$  контролируется прибором активного контроля (ПАК), а звуковое давление задается в виде «уставки» на приборе контроля режущей способности круга по низкочастотному акустическому сигналу из условия обеспечения заданного качества шлифованной поверхности.

Для реализации методики управления циклом круглого наружного врезного шлифования с использованием информации по низкочастотному акустическому сигналу необходимо:

определить число ступеней цикла и порядка их следования исходя из величины снимаемого припуска, погрешности формы и условной ширины заготовки;

распределить припуск по ступеням цикла и назначить режимы обработки на каждой ступени;

рассчитать радиальную  $P_y$  и касательную  $P_z$  составляющие силы шлифования для каждой ступени цикла по методике, приведенной в работе [2];

рассчитать величину звукового давления по формуле (1)

$$p = \frac{2\pi \cdot \rho \cdot c \cdot F(\mu) \cdot f \cdot P}{G} \cdot \left( \frac{k}{2\pi \cdot H} \right)^{1/2} \cdot K_p, \quad (3)$$

где  $\rho$  – плотность материала,  $\text{кг}/\text{м}^3$ ;  $c$  – скорость распространения звука в воздухе,  $\text{м}/\text{с}$ ;  $F(\mu)$  – функция коэффициента Пуассона;  $P = \sqrt{P_y^2 + P_z^2}$  – сила резания,  $\text{Н}$ ;  $k = 2\pi/\lambda_i$  – волновое число,  $\text{м}^{-1}$ ;  $G$  – модуль упругости при сдвиге материала шлифовального круга,  $\text{Мпа}$ ;  $H$  – высота круга,  $\text{м}$ ;  $K_p$  – поправочный коэффициент

$$K_p = \lg \left( \frac{D}{H} \right)^4 \cdot \lg \left( \frac{D}{d} \right)^{0.2}, \quad (4)$$

где  $D$  – диаметр круга,  $\text{м}$ ;  $d$  – диаметр посадочного отверстия круга,  $\text{м}$ .

задать величину звукового давления в качестве уставки  $p_{z \text{ уст}}$ ;

рассчитать коэффициент режущей способности  $K_p$  по акустическому критерию

$$K_p = \frac{W}{p_{z \text{ уст}}}; \quad (5)$$

сравнить рассчитанный коэффициент режущей способности  $K_p$  с допустимым  $[K_p]$ .

Значение уставки  $[K_p]$  при окончательном шлифовании определяют исходя из обеспечения заданного качества шлифованной поверхности.

Лабораторная апробация предложенной методики подтвердила возможность использования акустического критерия (5) режущей способности шлифовального круга для управления циклом шлифования в автоматическом цикле.

#### СПИСОК ЛИТЕРАТУРЫ

- Худобин Л.В., Гурьянихин В.Ф., Юганов В.С. Использование низкочастотного акустического сигнала для текущего контроля процесса шлифования // СТИН. 2000. №8. С. 25–29.
- Переверзев П.П. Теория и расчет оптимальных циклов обработки деталей на круглошлифовальных станках с программным управлением: Дис. ... докт. техн. наук: 05.02.08. Челябинск, 1999. 294 с.